



Laboratorium EMVO Sp. J. Urbański, Pawełak
ul. Jasna 1
00-013 Warszawa

tel. +48 22 780 29 64
e-mail: laboratorium@emvo.pl



AB 1630

Sprawozdanie z pomiarów pól elektromagnetycznych - środowisko ogólne
nr 29/09/OŚ/2020– P4-W



Nr i nazwa stacji	BIA1014	
Adres	Białystok, ul. Marii Curie Skłodowskiej 24A, woj. podlaskie	
Opracowanie	Martyna Karczmarczyk	Specjalista ds. pomiarów
Autoryzacja	Andrzej Urbański	Kierownik Laboratorium
Podpis		
Data	2020-09-14	

Spis treści

1. Informacje ogólne.....	3
2. Podstawa prawna.	3
3. Opis pomiarów.....	3
4. Zróżnicowanie dopuszczalne poziomy pól elektromagnetycznych.	5
5. Charakterystyka źródeł PEM.....	5
6. Wyniki pomiarów.....	5
7. Stwierdzenie zgodności	8
8. Oświadczenie.	9
9. Spis załączników.	9

1. Informacje ogólne.

Zleceniodawca	P4 sp. z o.o., ul. Taśmowa 7, 02-677 Warszawa osoba udzielająca informacji- Monika Jankowska
Istotne informacje dostarczone przez klienta	komplet informacji niezbędnych do wykonania pomiarów i opracowania sprawozdania
Dane otrzymane od klienta mogące mieć wpływ na ważność wyników	Dane anten sektorowych, dane anten radioliniowych, parametry pracy instalacji, poprawka pomiarowa
Prowadzący instalację	P4 sp. z o.o., ul. Taśmowa 7, 02-677 Warszawa
Lokalizacja obiektu	Białystok, ul. Marii Curie Skłodowskiej 24A, woj. podlaskie
Miejsce instalacji anten	Dach budynku
Miejsce instalacji urządzeń	Outdoor
Osoby wykonujące pomiar	Andrzej Figger
Data wykonania pomiaru	14.09.2020
Temperatura na początku pomiaru [°C]	17,0
Temperatura na koniec pomiaru [°C]	20,5
Warunki atmosferyczne	Brak opadów
Wilgotność na początku pomiaru [%]	58,5
Wilgotność na koniec pomiaru [%]	50,4
Inne źródła pól elektromagnetycznych oznaczone na załączniku graficznym	Nie występują
Parametry pracy instalacji	Rzeczywisty

2. Podstawa prawna.

2.1 Normy i rozporządzenia:

- Rozporządzeniem Ministra Klimatu z dnia 17 lutego 2020 r. w sprawie sposobów sprawdzania dotrzymania dopuszczalnych poziomów pól elektromagnetycznych w środowisku (Dz.U. 2020 poz. 258)
- Rozporządzenie Ministra Zdrowia z dnia 17 grudnia 2019 r. w sprawie dopuszczalnych poziomów pól elektromagnetycznych w środowisku (Dz.U. 2019 poz. 2448)
- Obwieszczenie Marszałka Sejmu Rzeczypospolitej Polskiej z dnia 19 lipca 2019 r. w sprawie ogłoszenia jednolitego tekstu ustawy - Prawo ochrony środowiska (Dz.U. 2019 poz. 1396).

3. Opis pomiarów

Metodologia pomiarowa

Pomiary w oparciu o Rozporządzeniem Ministra Klimatu z dnia 17 lutego 2020 r. w sprawie sposobów sprawdzania dotrzymania dopuszczalnych poziomów pól elektromagnetycznych w środowisku (Dz.U. 2020 poz. 258).

Cel badań	Określenie wartości natężenia pola elektrycznego w miejscach dostępnych dla ludności.
Opis zestawu pomiarowego	Miernik Narda NBM 520, Sonda EF 9091, o zakresie pomiarowym 0,8 V/m - 300V/m pracująca w paśmie 0,1 – 90 GHz, świadectwo wydane przez Laboratorium Wzorców i Metrologii Pola Elektromagnetycznego, Instytut Telekomunikacji, Teleinformatyki i Akustyki Politechniki Wrocławskiej. Świadectwo ważne do 15.07.2021r. Miernik Narda NBM 520, Sonda EF 9091 pracująca w zakresie temperatury -10°C - +50°C oraz wilgotności 5% - 95%. Niepewność rozszerzona wynosi 56% przy poziomie ufności 95% z uwzględnieniem współczynnika rozszerzenia k=2.
Wypożyczenie pomocnicze	Termohigrometr Termoprodukt, typ: Termik+, nr identyfikacyjny 700618, świadectwo wzorcowania nr 1763/AH/19 z dn. 29.07.2019 r. wydane przez Laboratorium Pomiarowe "MUTECH". Przymiar wstępowy STABILA, nr identyfikacyjny 31WL, świadectwo wzorcowania nr 6W1/1826/19 z dn. 02.08.2019 r. wydane przez Dyrektora Okręgowego Urzędu Miar w Gdańsku. GPS Garmin 64s okresowo sprawdzany w punktach osnowy geodezyjnej klasy 3 na podstawie licencji punktu, zgodnie z procedurą sprawdzeń okresowych IS/PO16-11/03.
Pomiary zostały wykonane	<ol style="list-style-type: none"> 1. na głównych i pomocniczych kierunkach pomiarowych, na kierunkach zbliżonych do azymutów anten oraz w dodatkowych pionach pomiarowych zgodnie z wymaganiami pkt 12, 13, 14 i 19 załącznika do rozporządzenia Ministra Klimatu z dnia 17 lutego 2020 r. (Dz. U. 2020, poz. 258), 2. na obszarze pomiarowym, dla którego, na podstawie uprzednio wykonanych obliczeń uzyskanych od zleceniodawcy, stwierdzono możliwość występowania pól elektromagnetycznych o poziomach zbliżonych do poziomów dopuszczalnych zgodnie z wymaganiami pkt 5 ppkt 2 oraz pkt 13 ppkt 1 załącznika do rozporządzenia Ministra Klimatu z dnia 17 lutego 2020 r. (Dz. U. 2020, poz. 258). Wyniki obliczeń nie uwzględniały parametrów pracy instalacji innych operatorów występujących na obiekcie bądź w obszarze pomiarowym. 3. w miejscach dostępnych dla ludności. 4. miejsca niedostępne podczas wykonywania pomiarów wskazane zostały w pkt 6 (tabeli wyniki pomiarów) 5. wyniki pomiarów uzyskane zostały przy uwzględnieniu poprawek pomiarowych przekazanych przez zleceniodawcę oraz przy rzeczywistych warunkach pracy instalacji innych operatorów (w przypadku występowania). W takiej sytuacji uwzględniono jednolitą poprawkę pomiarową wynoszącą
Szczególne warunki podczas wykonywania pomiarów	Pomiary wykonane zostały podczas obowiązywania w kraju stanu epidemii, zgodnie z art. 122a ust. 1b Ustawy z dnia 27 kwietnia 2001 r. – Prawo ochrony środowiska (Dz. U. z 2019 r. poz. 1396, z późn. zm.9))
Warunki pracy urządzeń nadawczych	Podczas pomiarów zostały uwzględnione poprawki pomiarowe przekazane przez zleceniodawcę, umożliwiające uwzględnienie maksymalnych parametrów pracy instalacji zgodnie z pkt 7 załącznika do Rozporządzeniem Ministra Klimatu z dnia 17 lutego 2020 r. w sprawie sposobów sprawdzania dotrzymania dopuszczalnych poziomów pól elektromagnetycznych w środowisku (Dz. U. 2020, poz. 258).

4. Różnicowanie dopuszczalne poziomy pól elektromagnetycznych.

Zakresy znajdują się w Dzienniku Ustaw z dnia 17 grudnia 2019 r. przedstawione są w tabeli nr 2 (Dz. U. z 2019r. poz. 2448).

Parametr fizyczny Zakres Częstotliwości pola elektromagnetycznego	Składowa elektryczna E (V/m)	Składowa magnetyczna H (A/m)	Gęstość mocy S (W/m ²)
od 400 MHz do 2000 MHz	$1,375 \times f^{0,5}$	$0,0037 \times f^{0,5}$	$f / 200$
od 2 GHz do 300 GHz	61	0,16	10

5. Charakterystyka źródeł PEM.

Zgodnie z informacją otrzymaną od Klienta pomiary zostały wykonane przy ustawieniach pochylenia anten zgodnych z pkt. 13, ppkt 2 załącznika do rozporządzenia Ministra Klimatu z dnia 17 lutego 2020 roku.

Tabela 1. Anteny sektorowe - dane otrzymane od klienta

Charakterystyka promieniowania		kierunkowa									
Rzeczywisty czas pracy [h/dobę]		24									
Rodzaj wytwarzanego pola		stacjonarne									
Lp	Wyszczególnienie	sektor 1					sektor 2		sektor 3		
I	Nadajnik stacji bazowej:										
1	Typ / Producent	DBS / Huawei									
2	Częstotliwość (pasmo) MHz	2600	2100	1800	2600	2100	1800	900	800	900	800
3	Maksymalna moc nadawana na sektor [dBm]	49,03	47,78	49,03	49,03	47,78	47,78	44,77	46,02	44,77	46,02
II	Obciążenie:										
1	Typ anteny	Huawei AMB4519R6			Huawei AMB4519R6			Huawei AMB4519R0		Huawei AMB4519R0	
2	Producent anteny	Huawei			Huawei			Huawei		Huawei	
3	Ilość anten	1			1			1		1	
4	Azymut	19					20		80		
5	Zakres kątów pochylenia anten [°]	2-4					0-6		0-10		
6	Wysokość zainst. n.p.t. [m]	29,75					29,75		29,75		
7	EIRP [W]	15736			14501			4410		4410	

Charakterystyka promieniowania		kierunkowa												
Rzeczywisty czas pracy [h/dobę]		24												
Rodzaj wytwarzanego pola		stacjonarne												
L p	Wyszczególnienie	sektor 4						sektor 5						
I	Nadajnik stacji bazowej:													
1	Typ / Producent	DBS / Huawei												
2	Częstotliwość (pasmo) MHz	2600	2100	1800	2600	2100	1800	2600	800	900	2100	1800	2100	1800
3	Maksymalna moc nadawana na sektor [dBm]	49,03	47,78	49,03	49,03	47,78	47,78	52,04	46,02	44,77	47,78	49,03	47,78	47,78
II	Obciążenie:													
1	Typ anteny	Huawei AMB4519R6			Huawei AMB4519R6			Huawei ATR4518R6		Kathrein 80010304		Kathrein 742215		Kathrein 742215
2	Producent anteny	Huawei			Huawei			Huawei		Kathrein		Kathrein		Kathrein
3	Ilość anten	1			1			1		1		1		1
4	Azymut	81						200						
5	Zakres kątów pochylenia anten [°]	2-5						0-5	0-5	0-10	0-5	0-5	0-5	0-5
6	Wysokość zainst. n.p.t. [m]	29,75						31,05		31,80		32,00		32,00
7	EIRP [W]	15736			14501			11705		1180		7996		6895

Charakterystyka promieniowania		kierunkowa						
Rzeczywisty czas pracy [h/dobę]		24						
Rodzaj wytwarzanego pola		stacjonarne						
Lp	Wyszczególnienie	sektor 6						
I	Nadajnik stacji bazowej:							
1	Typ / Producent	DBS / Huawei						
2	Częstotliwość (pasmo) MHz	2600	800	2100	1800	2100	1800	900
3	Maksymalna moc nadawana na sektor [dBm]	52,04	46,02	47,78	49,03	47,78	47,78	44,77
II	Obciążenie:							
1	Typ anteny	Huawei ATR4518R6		Kathrein 742215		Kathrein 742215		Kathrein 80010304
2	Producent anteny	Huawei		Kathrein		Kathrein		Kathrein
3	Ilość anten	1		1		1		1
4	Azymut	293						
5	Zakres kątów pochylenia anten [°]	0-5	0-5	0-7	0-7	0-7	0-7	0-10
6	Wysokość zainst. n.p.t. [m]	29,4		29,6		29,8		29,8
7	EIRP [W]	11705		7996		6895		1180

Tabela 2. Anteny radioliniowe- dane otrzymane od klienta

Charakterystyka promieniowania				kierunkowa			
Rzeczywisty czas pracy [h/dobę]				24			
Rodzaj wytwarzanego pola				stacjonarne			
Lp	Linia radiowa			Antena			
	typ/producent	częstotliwość pracy [GHz]	moc wyjściowa [dBm]	typ/producent	średnica anteny [m]	azymut [°]	wysokość zainstal. [m]
1	OPTIX RTN/HUAWEI	80	18	VHLP1-80/Andrew	0,3	249	27,80

6. Wyniki pomiarów.

Wyniki pomiarów pól elektromagnetycznych dla celów ochrony środowiska przedstawia poniższa tabela. Piony pomiarowe zostały przedstawione w zał. 2.

Nr PP	Pole-E [V/m]	Pole-E *kE, +U [V/m]	Pole-H [A/m]	Pole-H *kE +U [A/m]	Wys. pomiaru [m]	Opis pionu	Uwagi	WM _E	WM _H
1	1,1	2,83	0,003	0,008	0,8	N:53°07'29.22" E:23°09'38.17"	otoczenie stacji bazowej - 50m wzdłuż gł. osi promieniowania - GKP	0,073	0,072
2	1,5	3,86	0,004	0,010	0,9	N:53°07'30.61" E:23°09'39.10"	otoczenie stacji bazowej - 100m wzdłuż gł. osi promieniowania - GKP	0,099	0,098
3	1,4	3,60	0,004	0,010	1,1	N:53°07'32.14" E:23°09'41.64"	otoczenie stacji bazowej - 150m wzdłuż gł. osi promieniowania - GKP	0,093	0,091
4	<0,8*	-	<0,002	-	0,3-2,0	N:53°07'34.08" E:23°09'40.60"	otoczenie stacji bazowej - 200m wzdłuż gł. osi promieniowania - GKP	-	-
5	1,0	2,57	0,003	0,007	1,0	N:53°07'36.35" E:23°09'43.65"	otoczenie stacji bazowej - 300m wzdłuż gł. osi promieniowania - GKP	0,066	0,065
6	0,9	2,32	0,002	0,006	0,8	N:53°07'27.86" E:23°09'39.94"	otoczenie stacji bazowej - 50m wzdłuż gł. osi promieniowania - GKP	0,060	0,059
7	<0,8*	-	<0,002	-	0,3-2,0	N:53°07'28.09" E:23°09'42.76"	otoczenie stacji bazowej - 100m wzdłuż gł. osi promieniowania - GKP	-	-
8	1,4	3,60	0,004	0,010	0,9	N:53°07'28.20" E:23°09'44.85"	otoczenie stacji bazowej - 150m wzdłuż gł. osi promieniowania - GKP	0,093	0,091
9	<0,8*	-	<0,002	-	0,3-2,0	N:53°07'28.51" E:23°09'48.21"	otoczenie stacji bazowej - 200m wzdłuż gł. osi promieniowania - GKP	-	-
10	1,1	2,83	0,003	0,008	1,3	N:53°07'28.80" E:23°09'50.73"	otoczenie stacji bazowej - 250m wzdłuż gł. osi promieniowania - GKP	0,073	0,072
11	1,0	2,57	0,003	0,007	1,1	N:53°07'28.81" E:23°09'52.40"	otoczenie stacji bazowej - 300m wzdłuż gł. osi promieniowania - GKP	0,066	0,065
12	<0,8*	-	<0,002	-	0,3-2,0	N:53°07'26.27" E:23°09'32.04"	otoczenie stacji bazowej - 50m wzdłuż gł. osi promieniowania - GKP	-	-
13	<0,8*	-	<0,002	-	0,3-2,0	N:53°07'24.95" E:23°09'30.94"	otoczenie stacji bazowej - 100m wzdłuż gł. osi promieniowania - GKP	-	-
14	0,8	2,06	0,002	0,005	0,8	N:53°07'23.35" E:23°09'30.13"	otoczenie stacji bazowej - 150m wzdłuż gł. osi promieniowania - GKP	0,053	0,052
15	1,1	2,83	0,003	0,008	0,8	N:53°07'21.95" E:23°09'29.06"	otoczenie stacji bazowej - 200m wzdłuż gł. osi promieniowania - GKP	0,073	0,072
16	<0,8*	-	<0,002	-	0,3-2,0	N:53°07'20.34" E:23°09'27.65"	otoczenie stacji bazowej - 250m wzdłuż gł. osi promieniowania - GKP	-	-
17	<0,8*	-	<0,002	-	0,3-2,0	N:53°07'19.11" E:23°09'26.84"	otoczenie stacji bazowej - 300m wzdłuż gł. osi promieniowania - GKP	-	-
18	1,1	2,83	0,003	0,008	1,0	N:53°07'30.54" E:23°09'28.68"	otoczenie stacji bazowej - 50m wzdłuż gł. osi promieniowania - GKP	0,073	0,072
19	1,5	3,86	0,004	0,010	1,0	N:53°07'31.37" E:23°09'26.11"	otoczenie stacji bazowej - 100m wzdłuż gł. osi promieniowania - GKP	0,099	0,098
20	<0,8*	-	<0,002	-	0,3-2,0	N:53°07'31.90" E:23°09'24.16"	otoczenie stacji bazowej - 150m wzdłuż gł. osi promieniowania - GKP	-	-
21	<0,8*	-	<0,002	-	0,3-2,0	N:53°07'32.92" E:23°09'20.47"	otoczenie stacji bazowej - 200m wzdłuż gł. osi promieniowania - GKP	-	-
22	<0,8*	-	<0,002	-	0,3-2,0	N:53°07'33.28" E:23°09'18.88"	otoczenie stacji bazowej - 250m wzdłuż gł. osi promieniowania - GKP	-	-
23	<0,8*	-	<0,002	-	0,3-2,0	N:53°07'33.86" E:23°09'18.22"	otoczenie stacji bazowej - 300m wzdłuż gł. osi promieniowania - GKP	-	-
24	0,8	2,06	0,002	0,005	1,3	N:53°07'30.09" E:23°09'28.38"	otoczenie stacji bazowej - 50m wzdłuż gł. osi promieniowania - GKP	0,053	0,052
25	0,8	2,06	0,002	0,005	1,1	N:53°07'28.91" E:23°09'44.35"	otoczenie stacji bazowej- GKP	0,053	0,052
26	<0,8*	-	<0,002	-	0,3-2,0	N:53°07'25.87" E:23°09'35.76"	otoczenie stacji bazowej - GKP	-	-
27	0,8	2,06	0,002	0,005	1,1	N:53°07'24.72" E:23°09'34.48"	otoczenie stacji bazowej- GKP	0,053	0,052
28	<0,8*	-	<0,002	-	0,3-2,0	N:53°07'28.84" E:23°09'26.36"	otoczenie stacji bazowej - GKP	-	-

29	<0,8*	-	<0,002	-	0,3-2,0	N:53°07'31.70" E:23°09'31.81"	otoczenie stacji bazowej- GKP	-	-
30	1,0	2,57	0,003	0,007	1,1	N:53°07'31.44" E:23°09'32.98"	otoczenie stacji bazowej - GKP	0,066	0,065
31	<0,8*	-	<0,002	-	0,3-2,0	N:53°07'29.00" E:23°09'35.07"	otoczenie stacji bazowej- GKP	-	-
A	<0,8*	-	<0,002	-	0,3-2,0	Marii Curie Skłodowskiej 24A, pomiar przed wejściem -DPP		-	-
B	<0,8*	-	<0,002	-	0,3-2,0	Marii Curie Skłodowskiej 24A, pomiar przed wejściem -DPP		-	-
C	<0,8*	-	<0,002	-	0,3-2,0	Marii Curie Skłodowskiej 24A, pomiar przed wejściem -DPP		-	-
D	<0,8*	-	<0,002	-	0,3-2,0	Marii Curie Skłodowskiej 24A, pomiar przed wejściem -DPP		-	-
E	0,8	2,06	0,002	0,005	1,2	Marii Curie Skłodowskiej 24A, pomiar przed wejściem -DPP		0,053	0,052
F	0,9	2,32	0,002	0,006	1,7	Marii Curie Skłodowskiej 24A, pomiar przed wejściem -DPP		0,060	0,059
G	<0,8*	-	<0,002	-	0,3-2,0	Skłodowskiej 26, pomiar przed budynkiem -DPP		-	-
H	<0,8*	-	<0,002	-	0,3-2,0	Budynek gospodarczy, pomiar przed budynkiem -DPP		-	-
I	<0,8*	-	<0,002	-	0,3-2,0	Skłodowskiej 15, pomiar przed budynkiem -DPP		-	-
J	<0,8*	-	<0,002	-	0,3-2,0	Sekretariat szkoły, pomiar przed budynkiem -DPP		-	-
K	<0,8*	-	<0,002	-	0,3-2,0	Budynek gospodarczy, pomiar przed budynkiem -DPP		-	-
L	1,1	2,83	0,003	0,008	1,2	Waszyngtona 18, piętro 8, okno, klatka -DPP		0,073	0,072
	1,2	3,09	0,003	0,008	1,7	Waszyngtona 18, piętro 7, okno, klatka -DPP		0,079	0,078
	1,1	2,83	0,003	0,008	1,5	Waszyngtona 18, piętro 6, okno, klatka -DPP		0,073	0,072
M	<0,8*	-	<0,002	-	0,3-2,0	Waszyngtona 22a, pomiar przed budynkiem -DPP		-	-
N	1,4	3,60	0,004	0,010	1,5	Szpitalna 35a, piętro 4, okno, klatka -DPP		0,093	0,091

* poniżej czułości zestawu pomiarowego

GKP - główne kierunki pomiarowe

PKP - pomocnicze kierunki pomiarowe

DPP- dodatkowe punkty pomiarowe

PP – pion pomiarowy

U - niepewność pomiarowa rozszerzona, przy poziomie ufności 95%, z uwzględnieniem współczynnika rozszerzenia k=2

kE– poprawka pomiarowa badanej instalacji radiokomunikacyjnej podana przez operatora (kE=1,65), poprawka pomiarowa w przypadku oddziaływania innych instalacji radiokomunikacyjnych na badany obszar (kE=2,0)

WM_E- wartość wskaźnikowa poziomu emisji pól elektromagnetycznych dla miejsc dostępnych dla ludności dla składowej elektrycznej pola

WM_H- wartość wskaźnikowa poziomu emisji pól elektromagnetycznych dla miejsc dostępnych dla ludności dla składowej magnetycznej pola

Przyjęto najniższą dopuszczalną wartość składowej elektrycznej pola dla objętego pomiarami zakresu częstotliwości min(MEgr)= 38,89 V/m oraz składowej magnetycznej min(MHgr)= 0,105 A/m.

7. Stwierdzenie zgodności

Na podstawie wytycznych podanych w Rozporządzeniu Ministra Zdrowia z dnia 17 grudnia 2019 r. w sprawie dopuszczalnych poziomów pól elektromagnetycznych w środowisku (Dz.U. 2019 poz. 2448) oraz sposobów sprawdzania dotrzymania tych poziomów zgodnie z Rozporządzeniem Ministra Klimatu z dnia 17 lutego 2020 r. w sprawie sposobów sprawdzania dotrzymania dopuszczalnych poziomów pól elektromagnetycznych w środowisku (Dz.U. 2020 poz. 258) dotyczących źródła wymagań, które muszą być spełnione (załącznik do rozporządzenia Ministra Klimatu z dnia 17 lutego 2020 r. (poz. 258)), w oparciu o zasadę podejmowania decyzji zgodną z pkt 26 załącznika do rozporządzenia Ministra Klimatu z dnia 17 lutego 2020 r. (poz. 258), na podstawie wyników pomiarów pól elektromagnetycznych wykonanych w dniu 14.09.2020 stwierdzono, iż w miejscach dostępnych dla ludności, dopuszczalne poziomy pól elektromagnetycznych w środowisku, określone w przepisach wydanych na podstawie art. 122 ust. 1 ustawy z dnia 27 kwietnia 2001 r. – Prawo ochrony środowiska, uznaje się za dotrzymane w obszarze pomiarowym, w którym w wyniku zastosowania sposobu sprawdzenia dotrzymania

„Bez pisemnej zgody Laboratorium niniejsze sprawozdanie nie może być powielane inaczej, jak tylko w całości. Ponadto wyniki dotyczą tylko badanych obiektów przywołanych w niniejszym sprawozdaniu z badań”

29/09/OŚ/2020– P4-W

Strona 8 z 11

dopuszczalnych poziomów pól elektromagnetycznych w środowisku, udokumentowano, że żadna z wartości wskaźnikowych nie przekracza wartości 1.

8. Oświadczenie.

Wyniki badania odnoszą się wyłącznie do badanego obiektu.

Bez pisemnej zgody sprawozdanie nie może być powielane inaczej, jak tylko w całości.

Uwagi i zastrzeżenia przyjmowane są w formie pisemnej w ciągu 14 dni od daty otrzymania sprawozdania.

9. Spis załączników.

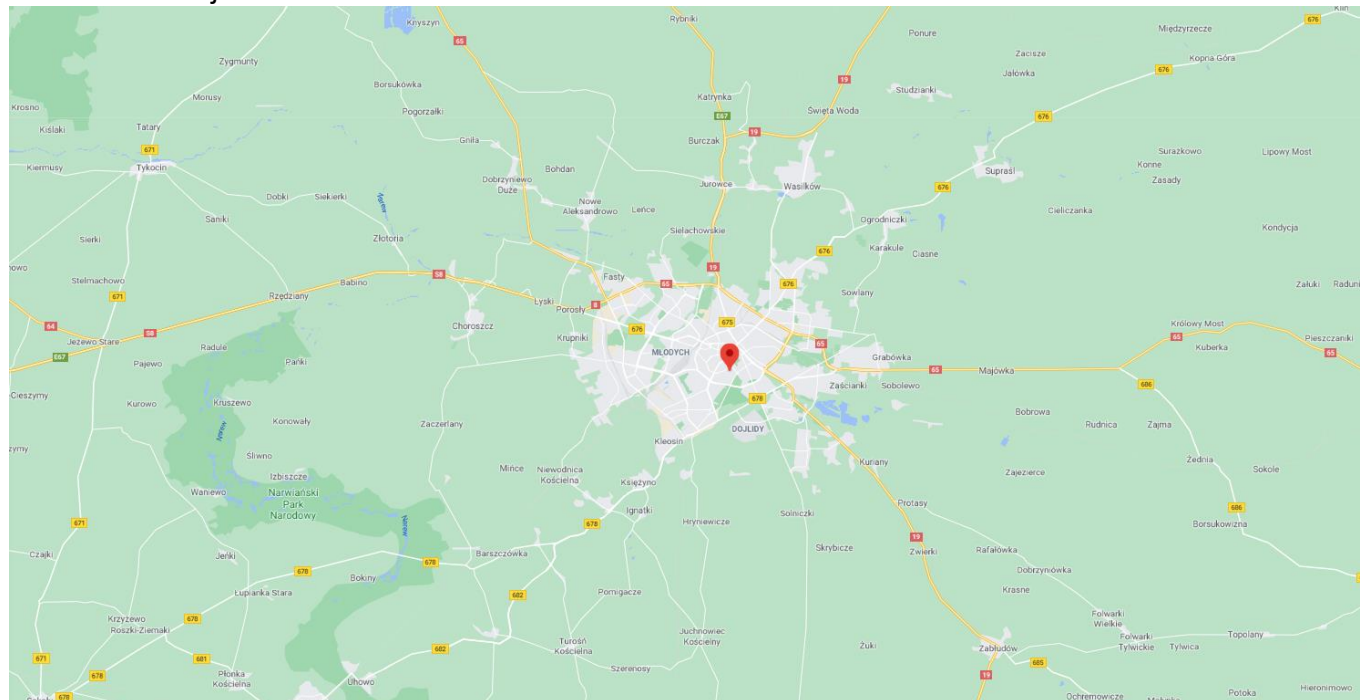
Załącznik 1. Lokalizacja obiektu.

Załącznik 2. Widok pionów pomiarowych

Załącznik 3. Załączniki graficzne

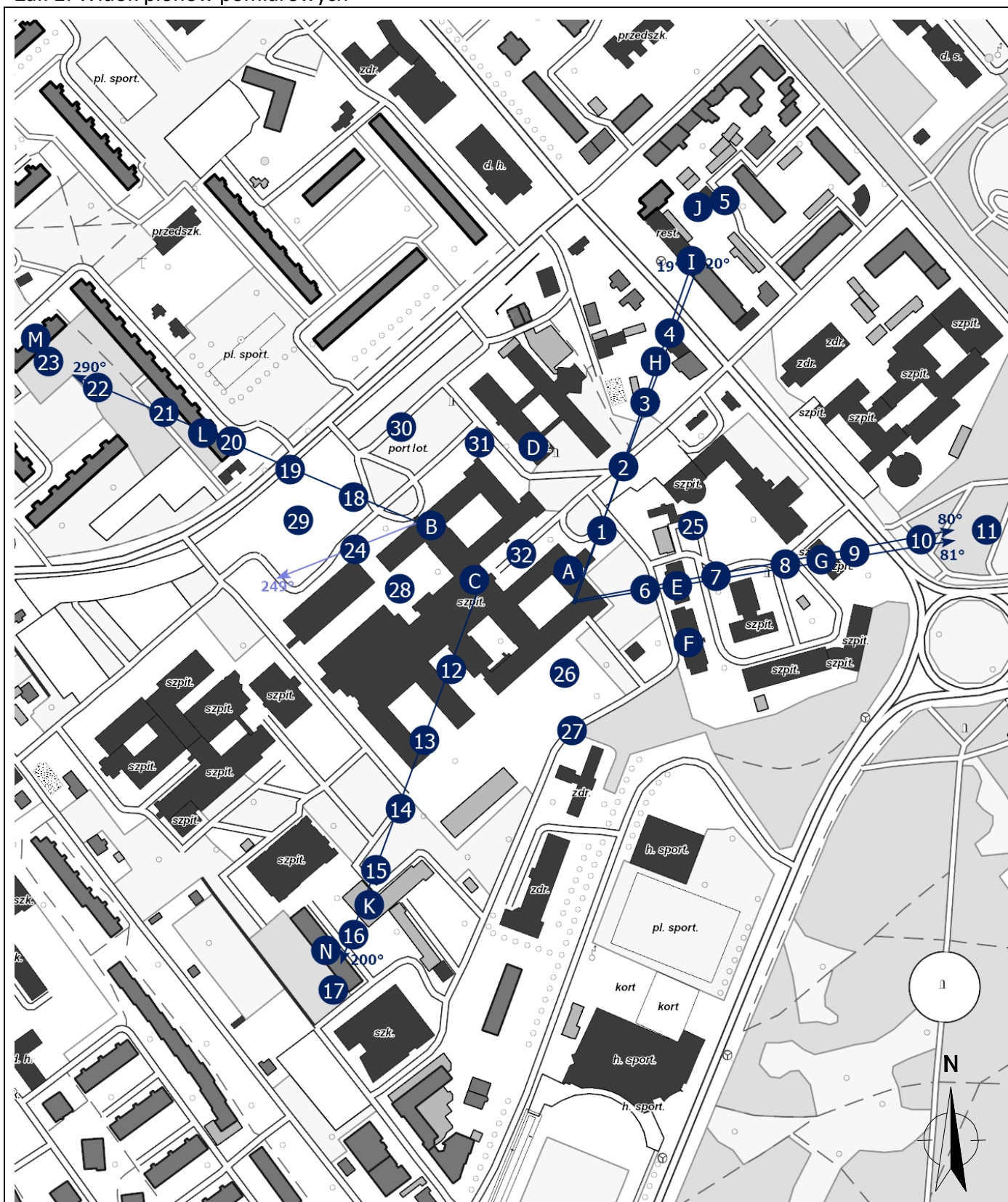
Koniec sprawozdania

Załącznik 1. Lokalizacja obiektu



Współrzędne geograficzne	
długość:	23°09'32.51"E
szerokość:	53°07'30.18"N

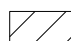
Załącznik 2. Widok pionów pomiarowych




LEGENDA:

 inna instalacja radiokomunikacyjna

Odległość, do której zostały wykonane pomiary mierzząc od instalacji antenowej wynosi min.: 298 metrów.

 brak dostępu

 pion pomiarowy z poprawką pomiarową (brak innych instalacji radiokomunikacyjnych)

 pion pomiarowy z poprawką pomiarową (w zasięgu innych instalacji radiokomunikacyjnych)

 antena sektorowa

 antena radioliniowa

Skala: 1:5200



„Bez pisemnej zgody Laboratorium niniejsze sprawozdanie nie może być powielane inaczej, jak tylko w całości. Ponadto wyniki dotyczą tylko badanych obiektów przywołanych w niniejszym sprawozdaniu z badań”

29/09/OŚ/2020– P4-W

Załącz. 3. Załączniki graficzne.

